

# Traitement d'images

Emanuel Aldea <[emanuel.aldea@u-psud.fr](mailto:emanuel.aldea@u-psud.fr)>  
<http://hebergement.u-psud.fr/emi/TIPolytech>

Polytech Paris-Saclay 5<sup>ème</sup> année

# Représentation des points 3D

Dans l'espace 3D :

$$\underbrace{p = (X, Y, Z)^T = \begin{bmatrix} X \\ Y \\ Z \end{bmatrix}}_{\text{point initial}} \quad \underbrace{p' = (X', Y', Z')^T = \begin{bmatrix} X' \\ Y' \\ Z' \end{bmatrix}}_{\text{point transformé}}$$

- ▶ six degrés de liberté (trois rotations, trois translations)
- ▶ on abandonne les ~ pour simplifier les notations, mais les variables sont homogènes

# Représentation des points 3D

Dans l'espace 3D :

$$\underbrace{p = (X, Y, Z)^T = \begin{bmatrix} X \\ Y \\ Z \end{bmatrix}}_{\text{point initial}} \quad \underbrace{p' = (X', Y', Z')^T = \begin{bmatrix} X' \\ Y' \\ Z' \end{bmatrix}}_{\text{point transformé}}$$

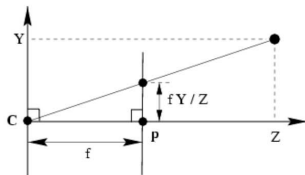
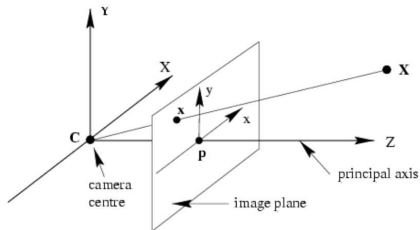
Une transformation Euclidienne avec les versions homogènes :

$$\begin{bmatrix} X' \\ Y' \\ Z' \\ 1 \end{bmatrix} = \begin{bmatrix} r_{11} & r_{12} & r_{13} & t_1 \\ r_{21} & r_{22} & r_{23} & t_2 \\ r_{31} & r_{32} & r_{33} & t_3 \\ 0 & 0 & 0 & 1 \end{bmatrix} \cdot \begin{bmatrix} X \\ Y \\ Z \\ 1 \end{bmatrix}$$

ou bien  $p' = \begin{bmatrix} R & t \\ 0^T & 1 \end{bmatrix} p$ , avec  $R^T R = I$ ,  $\det R = 1$

- ▶ six degrés de liberté (trois rotations, trois translations)
- ▶ on abandonne les ~ pour simplifier les notations, mais les variables sont homogènes

# Le modèle de camera pinhole



## Projection 3D $\Rightarrow$ 2D par une projection centrale

- ▶ Dans le plan focal 3D :  $(X, Y, Z)^T \Rightarrow (fX/Z, fY/Z, f)^T$
- ▶ Dans le plan 2D de l'image :  $(X, Y, Z)^T \Rightarrow (fX/Z, fY/Z) = (x, y)$

# Le modèle de camera pinhole

La projection dans le plan image ( $fX/Z, fY/Z$ ) en coordonnées homogènes donne :

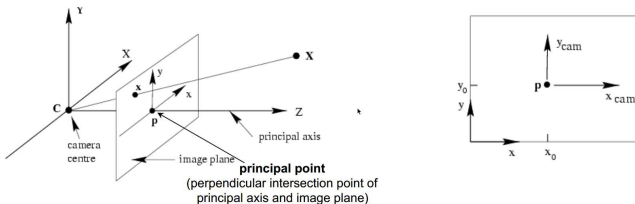
$$\begin{bmatrix} fX \\ fY \\ Z \end{bmatrix} = \begin{bmatrix} f & & \\ & f & \\ & & 1 \end{bmatrix} \cdot \begin{bmatrix} 1 & & 0 \\ & 1 & 0 \\ & & 1 \end{bmatrix} \cdot \begin{bmatrix} X \\ Y \\ Z \\ 1 \end{bmatrix} = \text{diag}(f, f, 1) [I|0] X$$

# Le modèle de camera pinhole

La projection dans le plan image ( $fX/Z, fY/Z$ ) en coordonnées homogènes donne :

$$\begin{bmatrix} fX \\ fY \\ Z \end{bmatrix} = \begin{bmatrix} f & & \\ & f & \\ & & 1 \end{bmatrix} \cdot \begin{bmatrix} 1 & & 0 \\ & 1 & 0 \\ & & 1 \end{bmatrix} \cdot \begin{bmatrix} X \\ Y \\ Z \\ 1 \end{bmatrix} = \text{diag}(f, f, 1) [I|0] X$$

La référence choisie dans le plan image n'est pas la projection de l'axe optique :



Dans le système de référence qu'on utilise habituellement :

$$(X, Y, Z) \Rightarrow (fX/Z + p_x, fY/Z + p_y)$$

# Le modèle de camera pinhole

La projection dans le plan image ( $fX/Z, fY/Z$ ) en coordonnées homogènes donne :

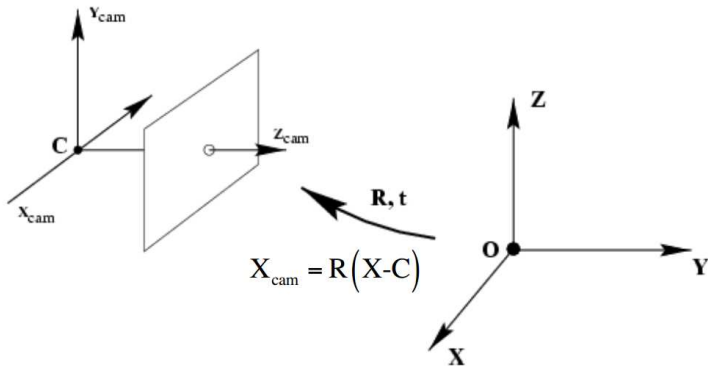
$$\begin{bmatrix} fX \\ fY \\ Z \end{bmatrix} = \underbrace{\begin{bmatrix} f & p_x \\ & f & p_y \\ & & 1 \end{bmatrix}}_K \cdot \begin{bmatrix} 1 & & 0 \\ & 1 & 0 \\ & & 1 & 0 \end{bmatrix} \cdot \begin{bmatrix} X \\ Y \\ Z \\ 1 \end{bmatrix} = \text{diag}(f, f, 1)[I|0]X$$

K - matrice de calibration intrinsèque

- ▶ constante tant que l'optique de la camera n'est pas ajustée
- ▶ nécessaire pour faire le passage  $2D \Leftrightarrow 3D$
- ▶ habituellement, estimée en utilisant des objets (mires) de calibration

# Passage dans un repère inertiel (fixe)

Dernière étape de la modélisation : on exprime les variables dans un repère qui n'est pas solidaire de la camera et qui est fixe (typiquement pour la robotique mobile) :





## Passage dans un repère inertiel (fixe)

Dernière étape de la modélisation : on exprime les variables dans un repère qui n'est pas solidaire de la camera et qui est fixe (typiquement pour la robotique mobile) : En notant par  $C$  le centre de la camera en coordonnées "world", le passage monde vers camera s'écrit

$$X_{cam} = R(X - C) = \begin{bmatrix} R & -RC \\ 0^T & 1 \end{bmatrix} \tilde{X}$$

et donc à la place de la projection des coordonnées camera vers le plan image :

$$x = K \begin{bmatrix} I & 0 \end{bmatrix} X_{cam}$$

on utilise la projection des coordonnées world vers le plan image :

$$x = KR \begin{bmatrix} I & -C \end{bmatrix} X$$

# Qu'est-ce qu'on peut déterminer là-dedans ?

Il y a d'autres problèmes à régler concernant la projection 3D  $\Rightarrow$  2D :



FIGURE – FOV étroit

# Qu'est-ce qu'on peut déterminer là-dedans ?

Il y a d'autres problèmes à régler concernant la projection 3D  $\Rightarrow$  2D :



FIGURE – FOV moyen

# Qu'est-ce qu'on peut déterminer là-dedans ?

Il y a d'autres problèmes à régler concernant la projection 3D  $\Rightarrow$  2D :



FIGURE – FOV large

# Qu'est-ce qu'on peut déterminer là-dedans ?

Distorsions : visibles surtout pour des optique a FOV large, doivent être corrigées en s'appuyant sur des modèles de distorsion.

Stratégies pour déterminer les paramètres de la projection

# Qu'est-ce qu'on peut déterminer là-dedans ?

Distorsions : visibles surtout pour des optique a FOV large, doivent être corrigées en s'appuyant sur des modèles de distorsion.

## Stratégies pour déterminer les paramètres de la projection

- On utilise des objets avec des configurations connues, et on minimise une erreur de projection sur un nombre suffisant d'exemples :



# Qu'est-ce qu'on peut déterminer là-dedans ?

Distorsions : visibles surtout pour des optique a FOV large, doivent être corrigées en s'appuyant sur des modèles de distorsion.

## Stratégies pour déterminer les paramètres de la projection

- ▶ On utilise des objets avec des configurations connues, et on minimise une erreur de projection sur un nombre suffisant d'exemples :
- ▶ On peut utiliser directement la scène (auto-calibration)
- ▶ Z. Zhang, *A flexible new technique for camera calibration*, PAMI, 2000
- ▶ M Pollefeys, R Koch, L Van Gool, *Self-calibration and metric reconstruction inspite of varying and unknown intrinsic camera parameters*, IJCV, 1999
- ▶ A. Fusiello, *Uncalibrated Euclidean reconstruction : a review*, Image and Vision Computing , 2000

# Stéréo

- ▶ Avec la projection, on perd l'information de profondeur.



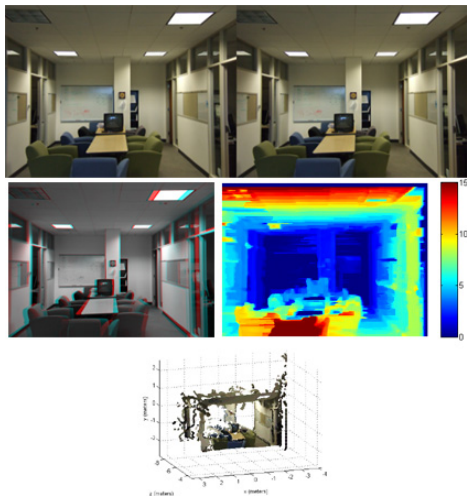
# Stéréo

- ▶ Avec la projection, on perd l'information de profondeur.
- ▶ Mais avec deux vues, on peut remonter à la valeur de  $Z$



# Stéréo

- ▶ Avec la projection, on perd l'information de profondeur.
- ▶ Mais avec deux vues, on peut remonter à la valeur de  $Z$



# Stéréo

- ▶ Avec la projection, on perd l'information de profondeur.
- ▶ Mais avec deux vues, on peut remonter à la valeur de  $Z$

Pour simplifier, supposons que la rotation entre les deux cameras est nulle, et que la translation est purement latérale. En prenant  $b$  comme la distance entre les cameras, on obtient rapidement :

$$x_1 = \frac{fX_1}{Z}; \quad y_1 = \frac{fY_1}{Z}; \quad x_2 = \frac{fX_2}{Z}; \quad y_2 = \frac{fY_2}{Z}; \quad Y_1 = Y_2; \quad X_1 = X_2 + b$$

D'ici, on obtient deux résultats fondamentaux :  $y_1 = y_2$  (les points 3D de la scène se projettent sur des lignes correspondantes) et en notant  $d = x_2 - x_1$  la **disparité** :

$$d = \frac{fb}{Z} \Leftrightarrow Z = \frac{fb}{d}$$

# Estimation de l'imprécision

Un calcul de propagation de l'erreur de disparité  $\epsilon_d$  nous montre que :

$$\epsilon_Z \approx \frac{Z^2}{bf} \cdot \epsilon_d$$

# Estimation de l'imprécision

Un calcul de propagation de l'erreur de disparité  $\epsilon_d$  nous montre que :

$$\epsilon_Z \approx \frac{Z^2}{bf} \cdot \epsilon_d$$

Problème : la fonction d'erreur d'estimation de  $Z$  est quadratique en  $Z$ . Par exemple, si on veut faire de la reconstruction avec un dispositif de la taille d'un téléphone :

- ▶  $b = 8cm$ ,  $f = 750px$ ,  $\epsilon_d \approx 2px$
- ▶ on obtient  $\epsilon_Z \approx 13cm$  pour  $Z = 2m$  et  $\epsilon_Z \approx 83cm$  pour  $Z = 5m$

Solutions rapides pour un gain limité en précision :

# Estimation de l'imprécision

Un calcul de propagation de l'erreur de disparité  $\epsilon_d$  nous montre que :

$$\epsilon_Z \approx \frac{Z^2}{bf} \cdot \epsilon_d$$

Problème : la fonction d'erreur d'estimation de  $Z$  est quadratique en  $Z$ . Par exemple, si on veut faire de la reconstruction avec un dispositif de la taille d'un téléphone :

- ▶  $b = 8cm$ ,  $f = 750px$ ,  $\epsilon_d \approx 2px$
- ▶ on obtient  $\epsilon_Z \approx 13cm$  pour  $Z = 2m$  et  $\epsilon_Z \approx 83cm$  pour  $Z = 5m$

Solutions rapides pour un gain limité en précision :

- ▶ augmenter  $f$  ... mais on réduit le FOV de travail ; en pratique en navigation robotique on fait exactement le contraire ( $FOV \geq 135 \text{ deg}$ )

# Estimation de l'imprécision

Un calcul de propagation de l'erreur de disparité  $\epsilon_d$  nous montre que :

$$\epsilon_Z \approx \frac{Z^2}{bf} \cdot \epsilon_d$$

Problème : la fonction d'erreur d'estimation de  $Z$  est quadratique en  $Z$ . Par exemple, si on veut faire de la reconstruction avec un dispositif de la taille d'un téléphone :

- ▶  $b = 8cm$ ,  $f = 750px$ ,  $\epsilon_d \approx 2px$
- ▶ on obtient  $\epsilon_Z \approx 13cm$  pour  $Z = 2m$  et  $\epsilon_Z \approx 83cm$  pour  $Z = 5m$

Solutions rapides pour un gain limité en précision :

- ▶ augmenter  $f$  ... mais on réduit le FOV de travail ; en pratique en navigation robotique on fait exactement le contraire ( $FOV \geq 135$  deg)
- ▶ augmenter  $b$  ... mais c'est peu pratique au delà d'une certaine valeur (10cm pour un outil de poche, 1m pour une voiture etc.) et cela réduit le FOV commun à de petites distances

# Les données d'entrée

On a besoin de  $\epsilon_d$  en entrée de l'algorithme, mais cette disparité peut être estimée directement uniquement pour des points d'intérêt :

- ▶ on peut faire de la reconstruction 3D sparse



# Les données d'entrée

On a besoin de  $\epsilon_d$  en entrée de l'algorithme, mais cette disparité peut être estimée directement uniquement pour des points d'intérêt :

- ▶ on peut faire de la reconstruction 3D sparse
- ▶ on peut utiliser des méthodes d'optimisation pour associer tous les pixels d'une image à l'autre en minimisant la différence de couleur entre les pixels correspondants et en régularisant le champ de disparité résultant

Voir <http://vision.middlebury.edu/stereo/eval/> pour une comparaison très large des méthodes existantes

# Les données d'entrée

On a besoin de  $\epsilon_d$  en entrée de l'algorithme, mais cette disparité peut être estimée directement uniquement pour des points d'intérêt :

- ▶ on peut faire de la reconstruction 3D sparse
- ▶ on peut utiliser des méthodes d'optimisation pour associer tous les pixels d'une image à l'autre en minimisant la différence de couleur entre les pixels correspondants et en régularisant le champ de disparité résultant
- ▶ mais l'imprécision sera supérieure aux valeurs vues précédemment, et les points qui sont aux bords des objets peuvent ne pas avoir des correspondants

# Les données d'entrée

On a besoin de  $\epsilon_d$  en entrée de l'algorithme, mais cette disparité peut être estimée directement uniquement pour des points d'intérêt :

- ▶ on peut faire de la reconstruction 3D sparse
- ▶ on peut utiliser des méthodes d'optimisation pour associer tous les pixels d'une image à l'autre en minimisant la différence de couleur entre les pixels correspondants et en régularisant le champ de disparité résultant
- ▶ mais l'imprécision sera supérieure aux valeurs vues précédemment, et les points qui sont aux bords des objets peuvent ne pas avoir des correspondants

On a également besoin de  $b$ . En pratique, pour des paires stéréo, on estime précisément  $C$  et  $R$ , qui sont proches d'un vecteur aligné à l'axe  $X$  et l'identité respectivement, mais pas identiques.

# Les données d'entrée

On a besoin de  $\epsilon_d$  en entrée de l'algorithme, mais cette disparité peut être estimée directement uniquement pour des points d'intérêt :

- ▶ on peut faire de la reconstruction 3D sparse
- ▶ on peut utiliser des méthodes d'optimisation pour associer tous les pixels d'une image à l'autre en minimisant la différence de couleur entre les pixels correspondants et en régularisant le champ de disparité résultant
- ▶ mais l'imprécision sera supérieure aux valeurs vues précédemment, et les points qui sont aux bords des objets peuvent ne pas avoir des correspondants

On a également besoin de  $b$ . En pratique, pour des paires stéréo, on estime précisément  $C$  et  $R$ , qui sont proches d'un vecteur aligné à l'axe  $X$  et l'identité respectivement, mais pas identiques.

Nouveau problème : dans ce cas, les rayons qui remontent au point 3D par ses deux projections ne s'intersectent pas forcément  $\Rightarrow$  on utilise des algorithmes de triangulation qui cherchent une solution optimale par rapport à un certain critère, i.e. le point en 3D se trouvant à mi-chemin entre les deux rayons.

# Les données d'entrée

On a besoin de  $\epsilon_d$  en entrée de l'algorithme, mais cette disparité peut être estimée directement uniquement pour des points d'intérêt :

- ▶ on peut faire de la reconstruction 3D sparse
- ▶ on peut utiliser des méthodes d'optimisation pour associer tous les pixels d'une image à l'autre en minimisant la différence de couleur entre les pixels correspondants et en régularisant le champ de disparité résultant
- ▶ mais l'imprécision sera supérieure aux valeurs vues précédemment, et les points qui sont aux bords des objets peuvent ne pas avoir des correspondants

On a également besoin de  $b$ . En pratique, pour des paires stéréo, on estime précisément  $C$  et  $R$ , qui sont proches d'un vecteur aligné à l'axe  $X$  et l'identité respectivement, mais pas identiques.

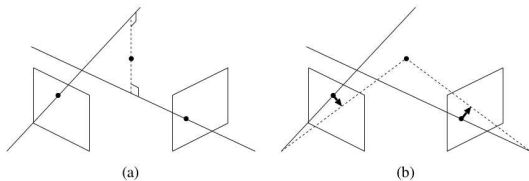


Figure 1: Triangulation. (a) The mid-point method. (b) Optimal correction.

# Les données d'entrée

On a besoin de  $\epsilon_d$  en entrée de l'algorithme, mais cette disparité peut être estimée directement uniquement pour des points d'intérêt :

- ▶ on peut faire de la reconstruction 3D sparse
- ▶ on peut utiliser des méthodes d'optimisation pour associer tous les pixels d'une image à l'autre en minimisant la différence de couleur entre les pixels correspondants et en régularisant le champ de disparité résultant
- ▶ mais l'imprécision sera supérieure aux valeurs vues précédemment, et les points qui sont aux bords des objets peuvent ne pas avoir des correspondants

On a également besoin de  $b$ . En pratique, pour des paires stéréo, on estime précisément C et R, qui sont proches d'un vecteur aligné à l'axe X et l'identité respectivement, mais pas identiques.

- ▶ Richard I. Hartley, and Peter F. Sturm., *Triangulation*, CVIU, 1997
- ▶ Kenichi Kanatani, Yasuyuki Sugaya and Hirotaka Niitsuma, *Triangulation from Two Views Revisited : Hartley-Sturm vs. Optimal Correction*, BMVC, 2008

# Nécessité de l'invariance en TI

## Les contours

- ▶ traitement relativement peu coûteux
- ▶ détection robuste de courbes paramétriques (Hough)

# Nécessité de l'invariance en TI

## Les contours

- ▶ traitement relativement peu coûteux
- ▶ détection robuste de courbes paramétriques (Hough)
- ▶ applications variées dans des environnements spécifiques :
  - ▶ détection de la route, des panneaux, du texte
  - ▶ imagerie médicale et satellitaire
  - ▶ inspection par vision industrielle

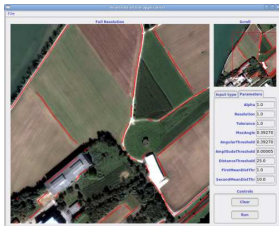
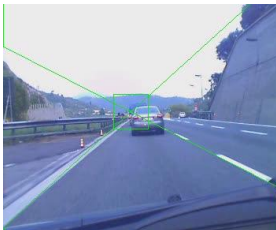
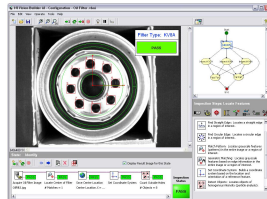


Image aérienne



Détection de voies



Vision industrielle

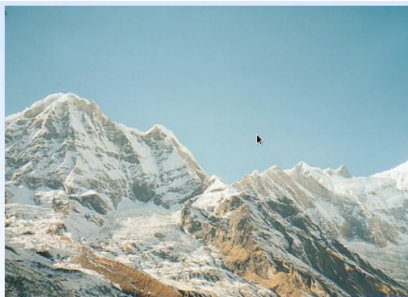


# Nécessité de l'invariance en TI

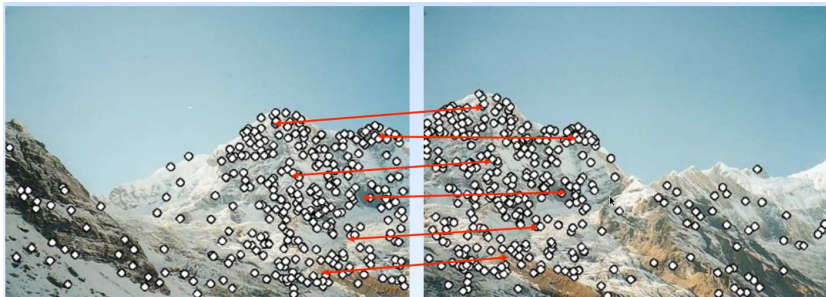
## Les contours

- ▶ traitement relativement peu coûteux
- ▶ détection robuste de courbes paramétriques (Hough)
- ▶ applications variées dans des environnements spécifiques :
  - ▶ détection de la route, des panneaux, du texte
  - ▶ imagerie médicale et satellitaire
  - ▶ inspection par vision industrielle
- ✓ tâches rapides et spécialisées
- ✓ invariants aux variations d'intensité
- ✗ sensibles aux autres transformations géométriques
- ✗ problème pour la reconnaissance de formes

# Motivation - images panoramiques



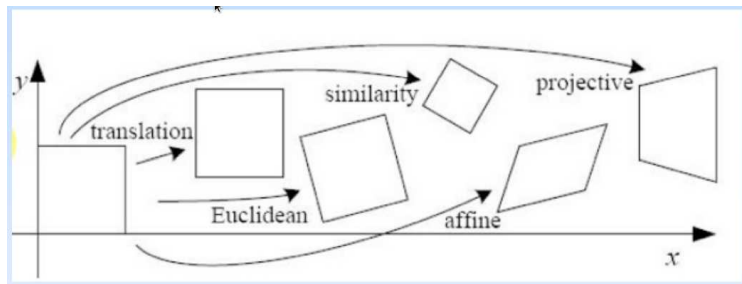
# Motivation - images panoramiques



# Motivation - images panoramiques



# Le problème



- ▶ translation
- ▶ Euclidienne (translation + rotation)
- ▶ similarité (tr. + rot. + échelle)
- ▶ affine (rot. + échelle + shear + translation)
- ▶ projective

# Nécessité de l'invariance en TI

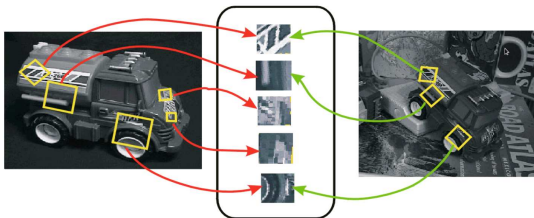
## Objectif

- ▶ identifier des structures qui sont **invariantes** par rapport aux rotations, changements d'échelle, etc.
- ▶ ces structures sont appelées couramment **points d'intérêt** ou **coins**

# Nécessité de l'invariance en TI

## Objectif

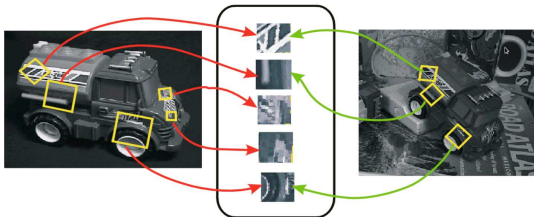
- ▶ identifier des structures qui sont **invariantes** par rapport aux rotations, changements d'échelle, etc.
- ▶ ces structures sont appelées couramment **points d'intérêt** ou **coins**



# Nécessité de l'invariance en TI

## Objectif

- ▶ identifier des structures qui sont **invariantes** par rapport aux rotations, changements d'échelle, etc.
- ▶ ces structures sont appelées couramment **points d'intérêt** ou **coins**



## Comment faire pour :

- ▶ les identifier de manière non supervisée ?
- ▶ les associer de manière robuste ?



# Détecteurs de coins : les bases

## Définition

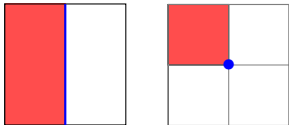
**Coin** : un endroit de l'image qui présente une forte variation d'intensité en deux directions différentes.



# Détecteurs de coins : les bases

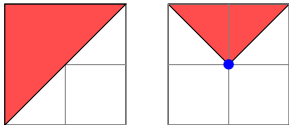
## Définition

**Coin** : un endroit de l'image qui présente une forte variation d'intensité en deux directions différentes.



Toujours besoin de calculer les gradients locaux, mais

- pas suffisant de faire comme auparavant (dans le repère image) !



# Détecteurs de coins : les bases

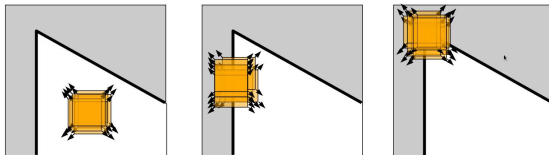
## Définition

**Stratégie** : le contenu d'un patch centré dans le coin devrait varier dans toutes les directions

# Détecteurs de coins : les bases

## Définition

**Stratégie** : le contenu d'un patch centré dans le coin devrait varier dans toutes les directions



## Comportement :

- ▶ régions homogènes : pas de changement
- ▶ contours : pas de changement le long du contour
- ▶ coins : changement important dans toutes les directions
- ▶ qualité du pixel : le plus petit changement
- ▶ introduit par Moravec en 1980
- ▶ pas isotrope : certains contours mal détectés, fausse réponse coin

# Détecteurs de coins : les bases

Changement d'intensité par shift de  $(\Delta x, \Delta y)$

$$E(x, y, \Delta x, \Delta y) = \sum_x \sum_y w(x, y) [I(x, y) - I(x + \Delta x, y + \Delta y)]^2$$

# Détecteurs de coins : les bases

Changement d'intensité par shift de  $(\Delta x, \Delta y)$

$$E(x, y, \Delta x, \Delta y) = \sum_x \sum_y w(x, y) \left[ \underbrace{I(x, y)}_{\text{intensité}} - I(x + \Delta x, y + \Delta y) \right]^2$$

# Détecteurs de coins : les bases

Changement d'intensité par shift de  $(\Delta x, \Delta y)$

$$E(x, y, \Delta x, \Delta y) = \sum_x \sum_y w(x, y) \left[ \underbrace{I(x, y)}_{\text{intensité}} - \underbrace{I(x + \Delta x, y + \Delta y)}_{\text{intensité shiftée}} \right]^2$$

# Détecteurs de coins : les bases

Changement d'intensité par shift de  $(\Delta x, \Delta y)$

$$E(x, y, \Delta x, \Delta y) = \sum_x \sum_y \underbrace{w(x, y)}_{\text{support}} \left[ \underbrace{I(x, y)}_{\text{intensité}} - \underbrace{I(x + \Delta x, y + \Delta y)}_{\text{intensité shiftée}} \right]^2$$



FIGURE – Types de fonction support  $w(x, y)$

$E(x, y)$  large indique potentiellement un coin.



# Détecteurs de coins : les bases

Approximation au premier ordre du dév. en série Taylor

$$f(x + \Delta x, y + \Delta y) = f(x, y) + f_x(x, y)\Delta x + f_y(x, y)\Delta y$$

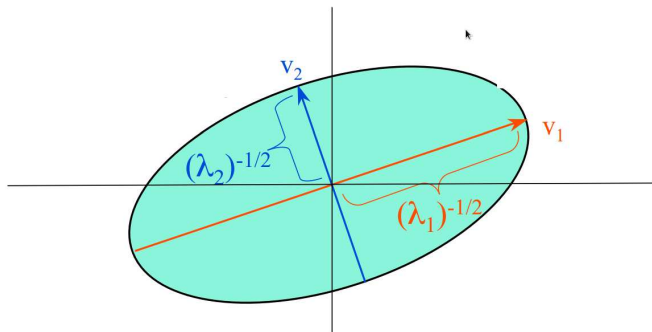
On l'utilise pour réécrire la variation d'intensité par shift :

$$\begin{aligned}\sum [I(x + \Delta x, y + \Delta y) - I(x, y)]^2 &\approx \sum [I(x, y) + \Delta x I_x(x, y) + \Delta y I_y(x, y) - I(x, y)]^2 \\ &\approx \sum \Delta x^2 I_x^2 + 2\Delta x \Delta y I_x I_y + \Delta y^2 I_y^2 \\ &\approx \sum [\Delta x \Delta y] \begin{bmatrix} I_x^2 & I_x I_y \\ I_x I_y & I_y^2 \end{bmatrix} \begin{bmatrix} \Delta x \\ \Delta y \end{bmatrix} \\ &\approx [\Delta x \Delta y] \left( \sum \begin{bmatrix} I_x^2 & I_x I_y \\ I_x I_y & I_y^2 \end{bmatrix} \right) \begin{bmatrix} \Delta x \\ \Delta y \end{bmatrix} \\ E(x, y, \Delta x, \Delta y) &\approx [\Delta x \Delta y] \left( \sum w(x, y) \begin{bmatrix} I_x^2 & I_x I_y \\ I_x I_y & I_y^2 \end{bmatrix} \right) \begin{bmatrix} \Delta x \\ \Delta y \end{bmatrix} \\ &\approx [\Delta x \Delta y] \underbrace{\begin{bmatrix} \sum I_x^2 & \sum I_x I_y \\ \sum I_x I_y & \sum I_y^2 \end{bmatrix}}_{\text{tenseur de structure}} \begin{bmatrix} \Delta x \\ \Delta y \end{bmatrix}\end{aligned}$$

# Détecteurs de coins : le tenseur de structure

## Propriétés

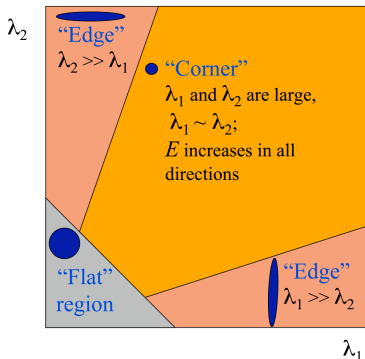
- ▶ les vecteurs propres indiquent les direction principales de variation de gradient dans le voisinage du point
- ▶ ex. : si  $\lambda_2 > \lambda_1$ , variation faible en  $v_2$  et plus forte en  $v_1$
- ▶ si coin,  $\lambda_1, \lambda_2$  sont larges



# Détecteurs de coins : le tenseur de structure

## Propriétés

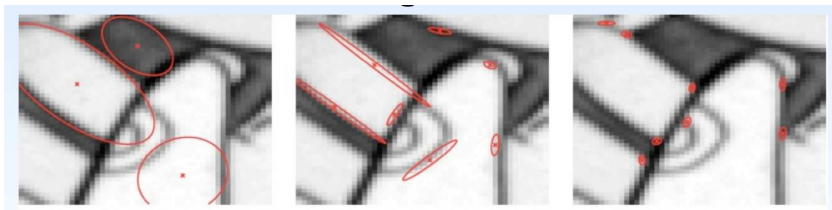
- ▶ les vecteurs propres indiquent les direction principales de variation de gradient dans le voisinage du point
- ▶ ex. : si  $\lambda_2 > \lambda_1$ , variation faible en  $v_2$  et plus forte en  $v_1$
- ▶ si coin,  $\lambda_1, \lambda_2$  sont larges



# Détecteurs de coins : le tenseur de structure

## Propriétés

- ▶ les vecteurs propres indiquent les direction principales de variation de gradient dans le voisinage du point
- ▶ ex. : si  $\lambda_2 > \lambda_1$ , variation faible en  $v_2$  et plus forte en  $v_1$
- ▶ si coin,  $\lambda_1, \lambda_2$  sont larges



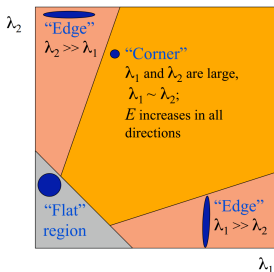
# Détecteurs de coins : décision

## Décision en fonction des valeurs propres du tenseur

- ▶ on peut calculer  $\lambda_1, \lambda_2$  explicitement mais trop lourd
- ▶ méthode préférée :

$$R = \det(M) - \alpha \text{trace}^2(M) = \lambda_1 \lambda_2 - \alpha(\lambda_1 + \lambda_2)^2$$

- ▶ valeur du paramètre  $\alpha$  en général 0.04 - 0.06
- ▶ valeurs propres intéressantes = maximum local de  $R$



# Détecteurs de coins : rappel

## Étapes de l'algorithme

1. calcul des gradients  $I_x = \frac{\partial}{\partial x} g(\sigma_D) \star I$ ,  $I_y = \frac{\partial}{\partial y} g(\sigma_D) \star I$
2. calcul du tenseur de structure :

$$M = g(\sigma_I) \star \begin{bmatrix} \sum I_x^2 & \sum I_x I_y \\ \sum I_x I_y & \sum I_y^2 \end{bmatrix}$$

3. calcul de la fonction de réponse  $R$  :

$$R = \det(M) - \alpha \text{trace}^2(M)$$

4. seuillage de  $R$
5. suppression de valeurs non maximales de  $R$

# Détecteurs de coins : exemple



FIGURE – Paire initiale

## Détecteurs de coins : exemple

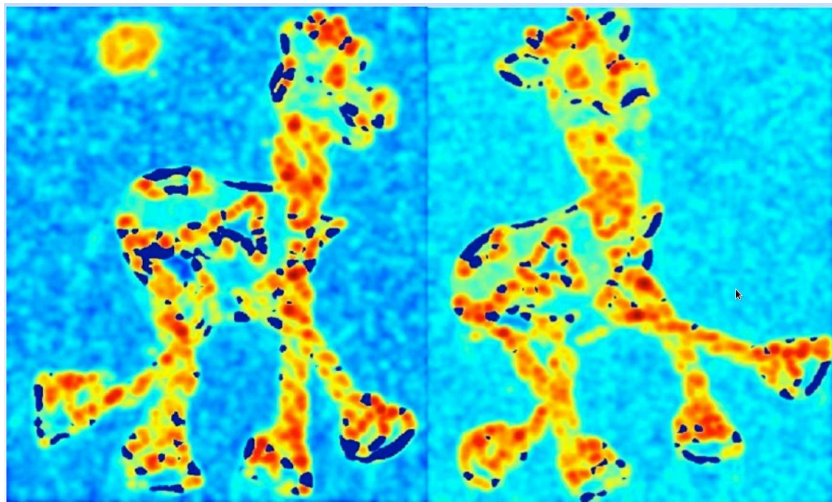


FIGURE – Fonction de réponse  $R$



# Détecteurs de coins : exemple

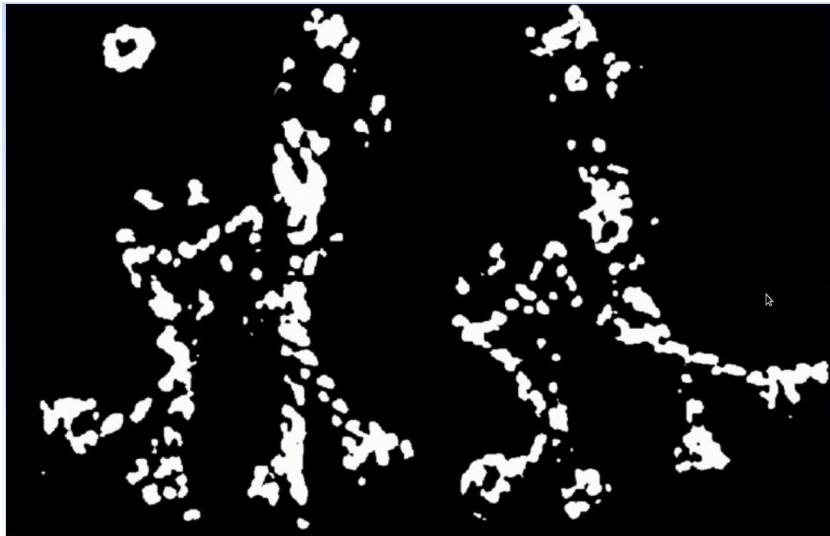


FIGURE – Seuillage de  $R$

# Détecteurs de coins : exemple

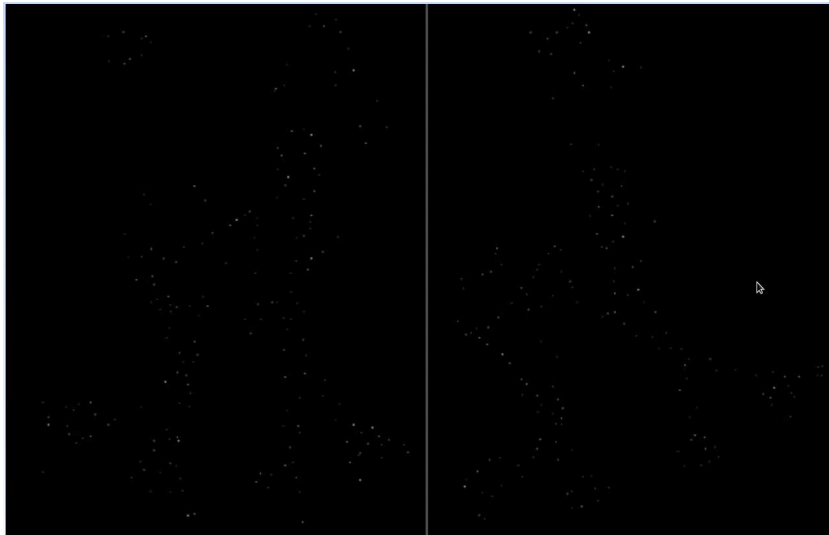


FIGURE – Suppression non maximale de  $R$

# Détecteurs de coins : exemple

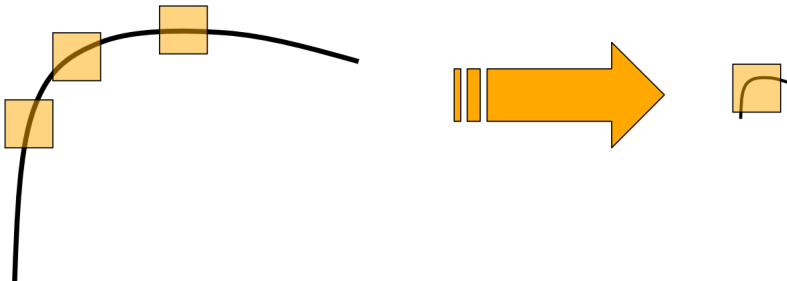


FIGURE – Résultat détection

# Détecteur de Harris

## Conclusions

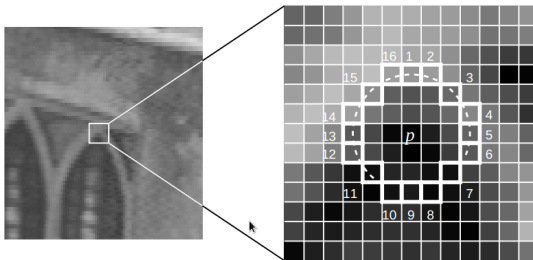
- ✓ détection invariante à la rotation
- ✓ détection invariante aux changements d'intensité
- ✗ pas robuste au changement d'échelle



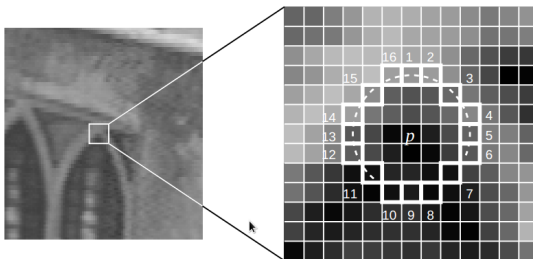
# Le détecteur FAST

## Features from Accelerated Segment Test

- ▶ extrêmement rapide
- ▶ pas d'opérations complexes (convolution, calcul de gradients etc.)
- ▶ peu robuste
- ▶ pas de descripteur



# Le détecteur FAST - stratégie



$$S_{p \rightarrow x} = \begin{cases} d, & I_{p \rightarrow x} \leq I_p - t \\ s, & I_p - t < I_{p \rightarrow x} < I_p + t \\ b, & I_p + t \leq I_{p \rightarrow x} \end{cases}$$